

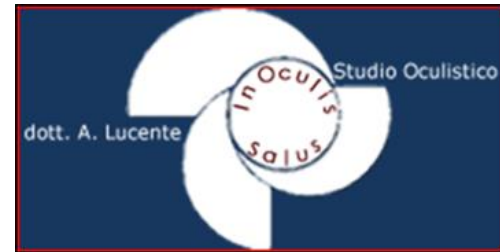


**VI CORSO AVANZATO
DIAGNOSTICO-CHIRURGICO DI
SEMEIOTICA STRUMENTALE & LIVE SURGERY**

**25 OTTOBRE 2019
CORIGLIANO - ROSSANO
Hotel Roscianum**

Widefield Imaging Angio-OCT & Artificial Intelligence

Amedeo Lucente





Discosure

Consulting Free:

- *Alpha Intes*
- *Carl Zeiss Meditec*
- *CenterVue*
- *Mesofarma*



XIX CONGRESSO SOC

Società Oftalmologica Calabrese

VI CORSO AVANZATO DIAGNOSTICO-CHIRURGICO DI SEMEIOLOGIA STRUMENTALE & LIVE SURGERY

FoV Field of View



FoV ~ 10°/20°

1 \$ 1930 = 76,5 \$
768 \$ x 76,5 \$ ~ 58.752 \$

FF Retinal Camera Zeiss
after Nordenson Year 1930
Price \$ 768 f.o.b. N.Y.
(free on board, New York)

FoV ≥ 50° Widefield Imaging WF

FoV ≥ 100° Ultra-Widefield Imaging UWF

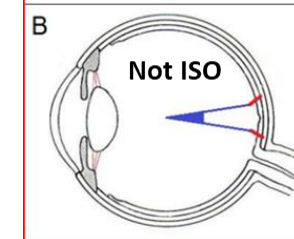
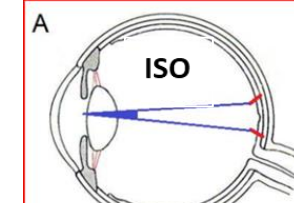
90° ISO ~ 133° not ISO

135° ISO ~ 200° not ISO

EDTRS 7-Field da 30° > 75°

1979/85

22 centri, 3.711 pazienti



ISO 10940 (International Organization for Standardization)





XIX CONGRESSO SOC

Società Oftalmologica Calabrese

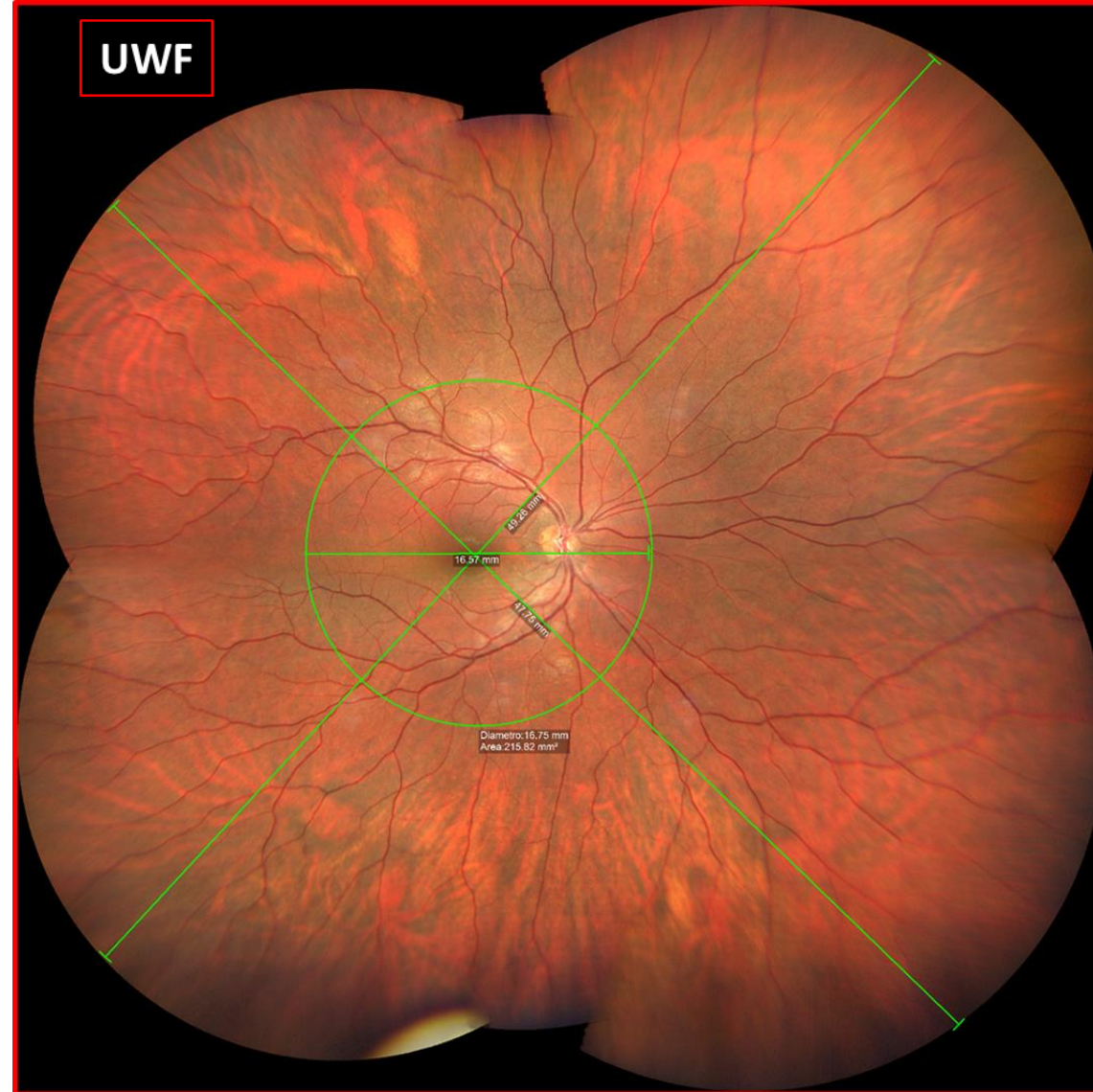
VI CORSO AVANZATO DIAGNOSTICO-CHIRURGICO DI SEMEIOTICA STRUMENTALE & LIVE SURGERY

**Montaggio
semiautomatico
6 shots**

**Cerchio centrale
FoV ~ 45°**

**Full imaging
FoV ~ 267°**

**Site to site
full imaging
~ 48 mm**





XIX CONGRESSO SOC

Società Oftalmologica Calabrese

VI CORSO AVANZATO DIAGNOSTICO-CHIRURGICO DI SEMEIOTICA STRUMENTALE & LIVE SURGERY

- **Gupta V et al.** suggeriscono che l'utilizzo di UWFA può allargare la possibilità di diagnosi nelle **uveiti posteriori rispetto alla FA**. *Saudi J Ophthalmol* 2014;28:95-103
- **Wessel et al.** affermano che l'utilizzo dell'UWFA aumenta del 10% l'area retinica interessata da **alterazioni vasali nella DR**, non evidenziabile con FA.
Br J Ophthalmol 2012;96:694-8
- **Leder HA et al.** hanno studiato e dimostrato l'**utilità del UWF nelle vasculiti** non infettive e nella **Behçet**. *J Ophthalmic Inflamm Infect* 2013;3:30
- **Prasad et al.** riferiscono che il **UWF è essenziale** per una migliore diagnosi, gestione e trattamento delle **patologie vascolari**. *Ophthalmology* 2010;117:780-4
- **Madhusudhan S. et al.** hanno confermato l'importanza **dell'ipossia e dell'ischemia** tissutale della retina periferica **come fattori patogenetici** della **AMD e di NV**.
The Scientific World Journal Vol 2014, Article ID 536161, 7 pages
- **Patel CK et al.** affermano che le **Skip areas nella ROP** possono essere più agevolmente evidenziate **con UWFA** e trattate con laser e/o anti VEGF. *Eye (Lond)* 2013;27:589-96.
- **Reznicek L et al.** precisano che **UWF facilita la diagnosi differenziale** tra **melanoma maligno e nevo benigno della coroide**. *Int J Ophthalmol* 2014;7:697-703
- **A. Lucente.** Evoluzione della fotografia retinica e Imaging Widefield.
Oftalmologia domani Anno IX - 2018
- **Le performances** dell'UWF hanno trovato positiva applicazione inoltre nella malattia di **Coats** (*Kang KB et al.*), di **Von Hippel-Lindau** (*Haddad NM et al.*) e nel **distacco di retina**.

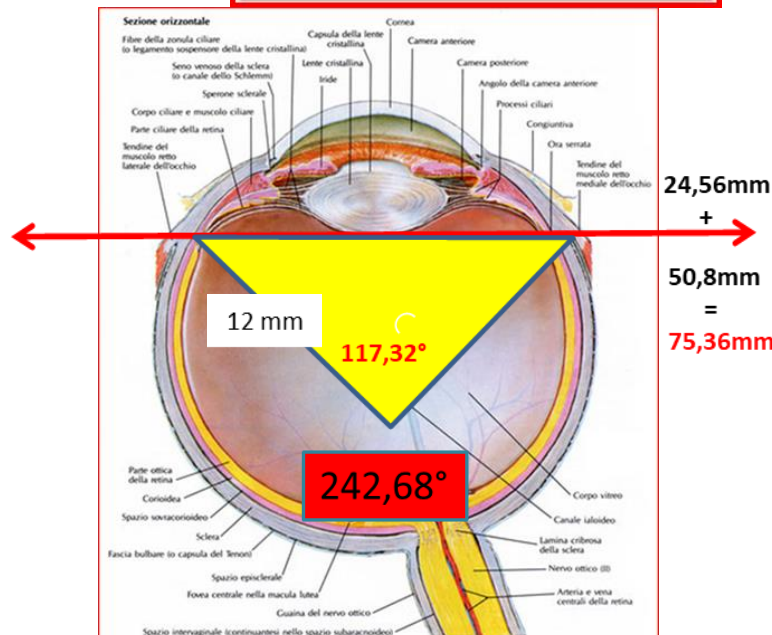
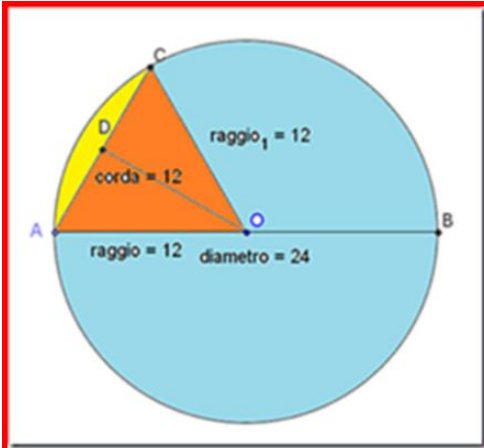


XIX CONGRESSO SOC

Società Oftalmologica Calabrese

VI CORSO AVANZATO DIAGNOSTICO-CHIRURGICO DI SEMEIOTICA STRUMENTALE & LIVE SURGERY

AB ~ 24 mm
 AO ~ 12 mm
 AC corda
 ~ 12 mm
 AC arco
 ~ 12,56 mm
 AOC Triangolo
 Equilatero ~ 60°



Testut, Zuccheo, Bonnet, Orzalesi, le dimensioni del bulbo oculare umano sono:
 diametro trasverso 23,5 mm
 diametro verticale 23 mm
 diametro antero-posteriore 25-26 mm
 Forma ricalca un ellissoide triassiale

Diametro sfera teorica

~ 24 mm

Raggio sfera teorica

~ 12 mm

Lunghezza circonferenza

$2 \times 3,14 \times 12$ mm

$2\pi r$

Corpo Ciliare

~ 75,36 mm

Bianco/bianco

~ 6 mm

~ 12mm

Misure lineari/goniometriche/aree

Arco corneale sotteso a 12 mm

~ 1/6 circonferenza (75,36 : 6)

~ 12,56 mm

Ora serrata/ora serrata in mm

~ 12,56 + 2 corpi ciliari (6 x 2)

~ 24,56 mm

Ora serrata/ora serrata camera vitrea in mm

75,36 mm - 24,56 mm

~ 50,8 mm

Angolo goniometrico seg ant non fotografabile

24,56 mm ($75,36 : 360 = 24,56 : X$) ~ 117,32°

Angolo goniometrico retinico fotografabile

~ 360° - 117,32°

~ 242,68°

Area una sfera perfetta

$4\pi r^2$

$4 \times 3,14 \times 12^2$

~ 1808 mm²

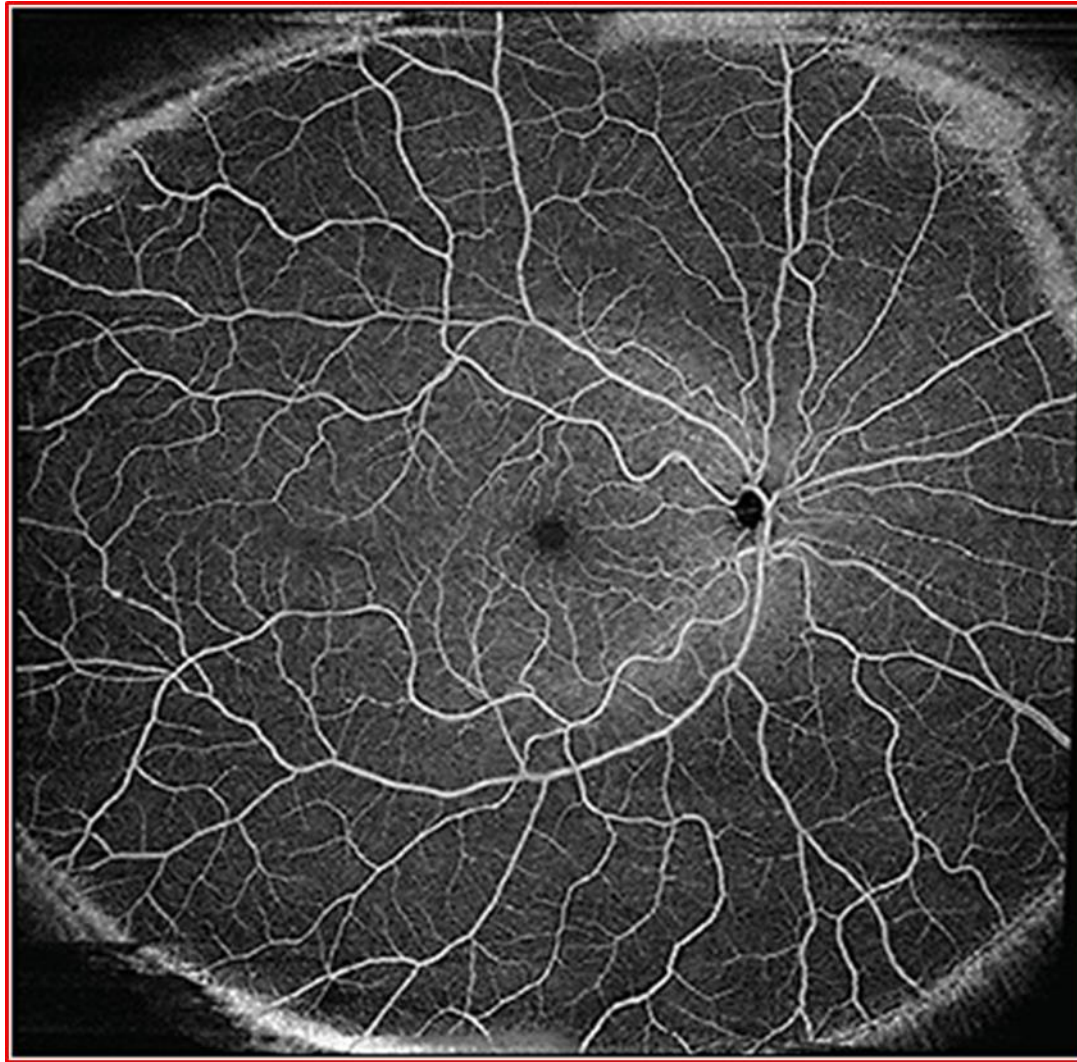
Area retinica teoricamente fotografabile a 242,68°

($1808 : 360 = X : 242,68$)

~ 1218,8 mm²

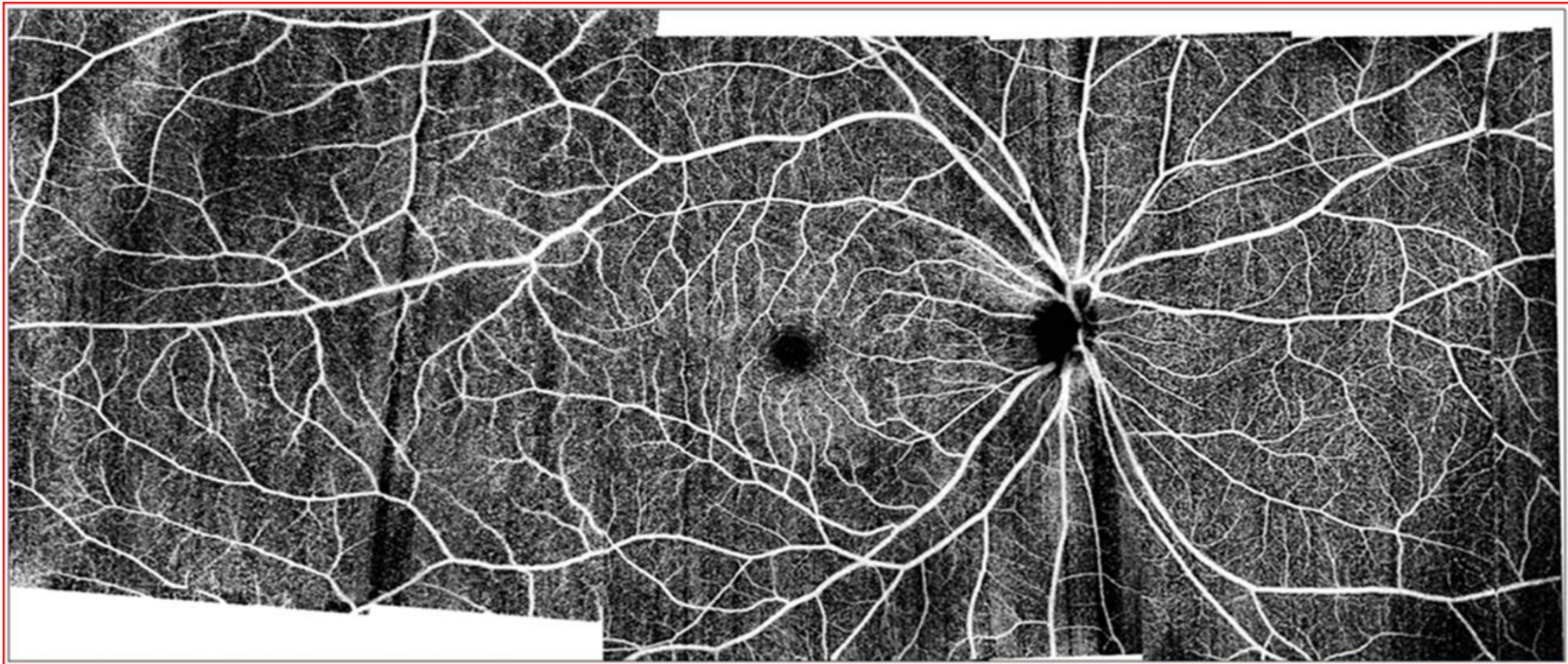
Area emisfera = $\frac{1}{2} \times 1808 \text{ mm}^2$

~ 904 mm²



Montage of **12 mm x 12 mm** scans from a normal eye obtained on the swept-source Zeiss Plex Elite 9000.

12 mm x 12 mm scans were obtained, **one centered at the fovea**, and the **other 4 centered at the 4 quadrants** around the fovea. The montaging of these **5 scans**



Ultra-Widefield OCTA (~20-mm width, 10-mm height, 7-mm depth) 200-kHz Swept-Source OCT System. (by Simon S. Gao et al.)



XIX CONGRESSO SOC

Società Oftalmologica Calabrese

VI CORSO AVANZATO DIAGNOSTICO-CHIRURGICO DI SEMEIOTICA STRUMENTALE & LIVE SURGERY

Intelligenza Artificiale

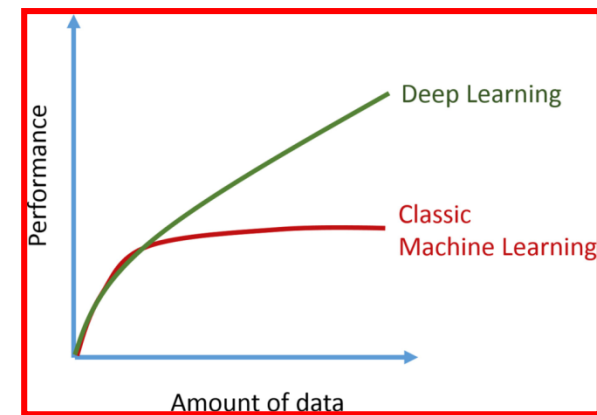
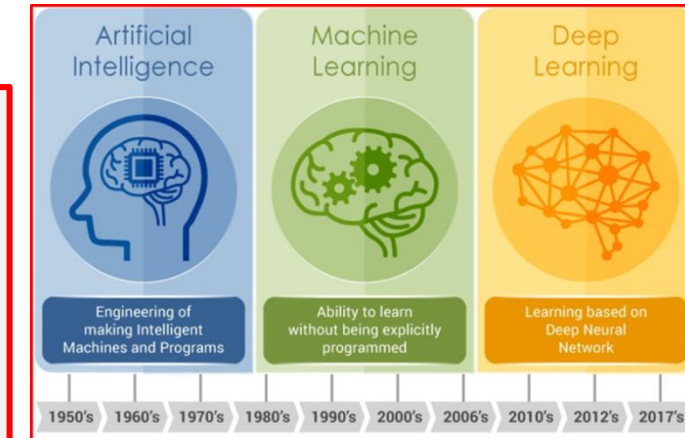
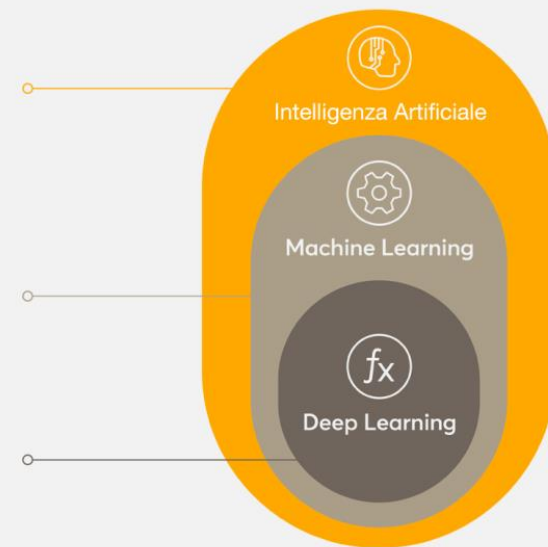
Qualsiasi tecnologia in grado di svolgere azioni tipiche della mente e dell'abilità umana.

Machine Learning

Sottoinsieme delle tecniche di AI che utilizza metodi statistici per consentire alle macchine di migliorare le proprie capacità e prestazioni nel tempo.

Deep Learning

Sottocategoria del Machine Learning che fa riferimento agli algoritmi ispirati alla struttura e alla funzione del cervello chiamate reti neurali artificiali.



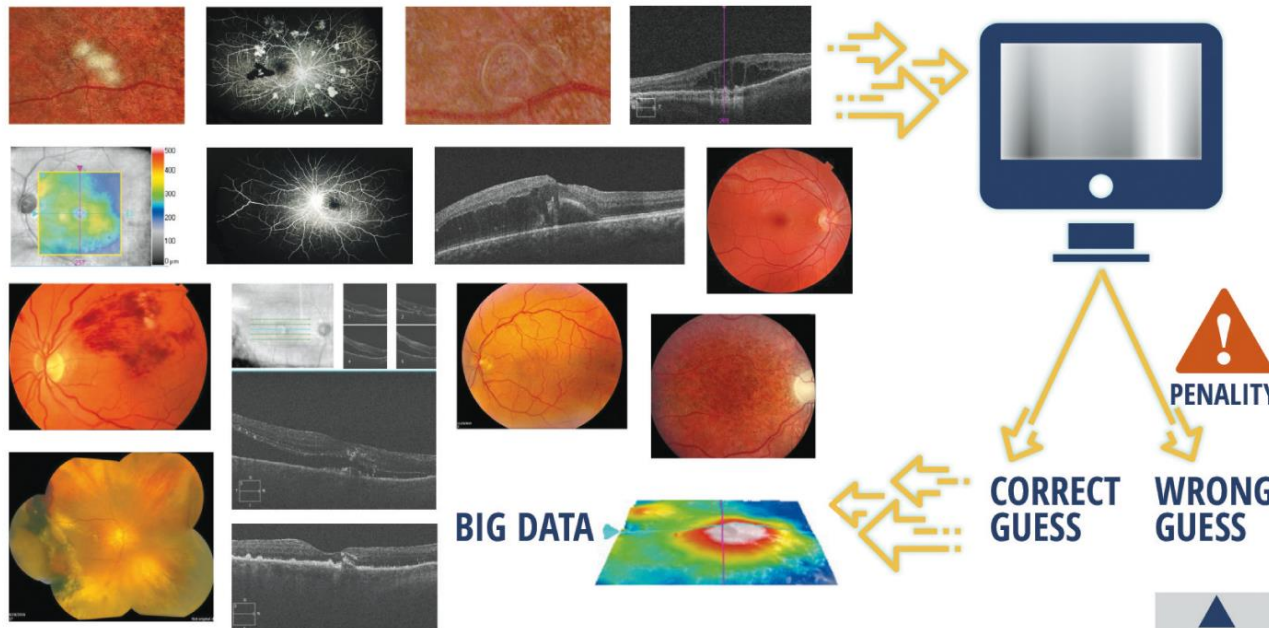
Ursula Schmidt-Erfurth Amir Sadeghipour Bianca S. Gerendas Sebastian M. Waldstein Hrvoje Bogunović.
Artificial intelligence in retina. Progress in Retinal and Eye Research. Volume 67, November 2018, Pages 1-29.

Cecilia S. Lee, Ariel J. Tyring, Yue Wu, sa Xiao, Ariel S. Rokem, Nicolaas P. DeRuyter, Qinjin Zhang, Adnan Tufail, Ruikang K. Wang, & Aaron Y. Lee. Generating retinal flow maps from structural optical coherence tomography with artificial intelligence. Scientific RepoRts | (2019) 9:5694 | <https://doi.org/10.1038/s41598-019-42042-y>.



1

DATA-DRIVEN MACHINE LEARNING



◀ **FIGURE 1** Illustration of supervised learning—the way computer algorithms are taught to recognize patterns. In this case, the process shows how computer algorithms are taught to recognize features of retinal diseases encoded in retinal images. Errors are penalized as the algorithm repeatedly cycles through a large set of images. The algorithm remembers the previous errors that resulted in penalties and constantly tries to avoid them. In other words, with each cycle, the algorithm tries to make increasingly correct guesses and eventually “learns” how to make the correct diagnosis.

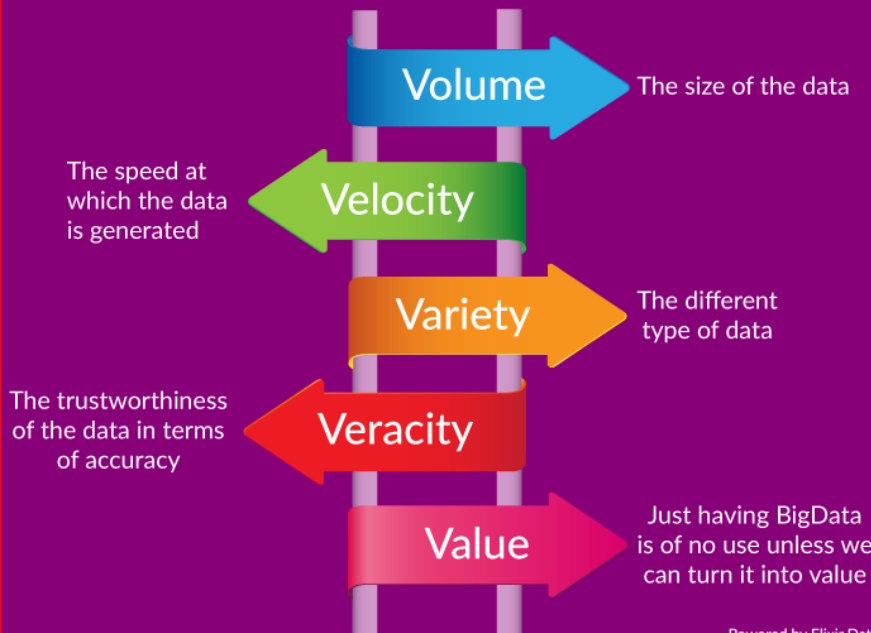
Big data sono dati che superano i limiti dei database tradizionali, hardware e software. Utili per arrivare a conoscenze, previsioni, stabilire correlazioni, diagnosi, business

- Big Data
- AI

Big data hanno un ordine degli zettabyte, miliardi di terabyte; si richiede una potenza di calcolo parallelo e massivo con strumenti dedicati con centinaia o anche migliaia di server

byte unità di misura delle capacità di memoria

The 5 Vs of BigData



8 Bits	= 1 Byte
1024 Bytes	= 1 Kilobyte
1024 Kilobytes	= 1 Megabyte
1024 Megabytes	= 1 Gigabyte
1024 Gigabytes	= 1 Terabyte
1024 Terabytes	= 1 Petabyte
1024 Petabytes	= 1 Exabyte
1024 Exabytes	= 1 Zettabyte
1024 Zettabytes	= 1 Yottabyte
1024 Yottabytes	= 1 Brontobyte
1024 Brontobytes	= 1 Geopbyte



Thank you for your kind attention!